

Disentangling Noise from Images: A Flow-Based Image Denoising Neural Network

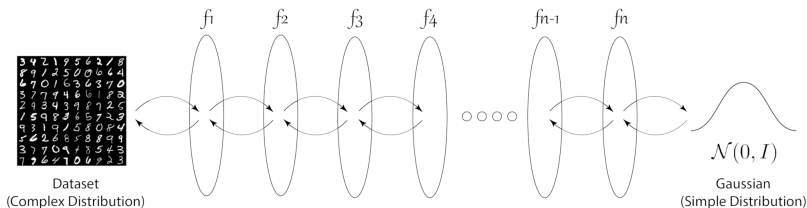
Yang Liu et al.,
<https://www.mdpi.com/1424-8220/22/24/9844>

Short Notes

February 2026

Reminder: The key idea of the Normalizing Flows

- ▶ simple $f \Rightarrow$ small expressivity
- ▶ complex $f \Rightarrow$ hard calculations
- ▶ \Rightarrow key idea:
 - ▶ **chain** of simple $1 \leftrightarrow 1$ invertible transformations = **Normalizing Flow**
 - ▶ network learning \Rightarrow **log likelihood**



Reminder: Models with NF: RealNVP

affine coupling layer $f: \mathbf{x} \mapsto \mathbf{y}$:

$$\mathbf{y}_{1:d} = \mathbf{x}_{1:d} \tag{1}$$

$$\mathbf{y}_{d+1:D} = \mathbf{x}_{d+1:D} \odot \exp(\sigma(\mathbf{x}_{1:d})) + \mu(\mathbf{x}_{1:d})$$

where $\sigma(\cdot)$ and $\mu(\cdot)$ are scale and translation functions and both map $\mathbb{R}^d \mapsto \mathbb{R}^{D-d}$. The operation \odot is the element-wise product.

- ▶ easily invertible + to calculate the Jacobian

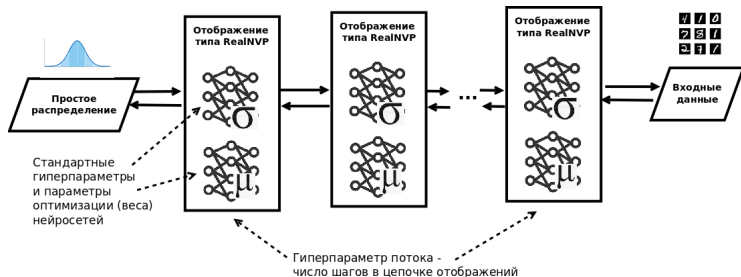
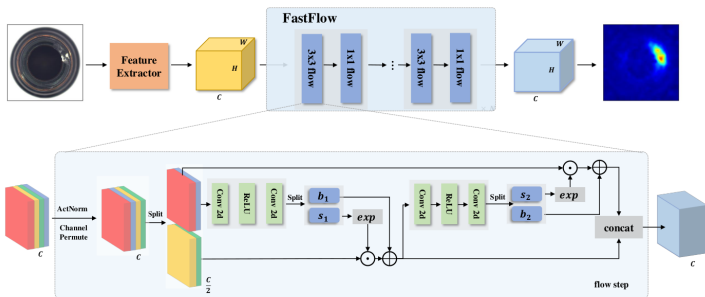


Рис.: Блок-схема нормализующих потоков для моделей типа RealNVP

Reminder: алгоритм детектирования аномалий

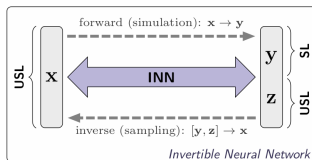
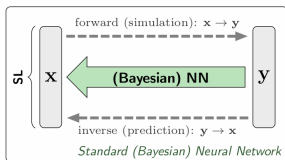
1. поскольку отображение (NF) оптимизируется под выборку неаномальных данных, аномалии имеют низкую вероятность

- ▶ в исходном пространстве со сложным распределением (+имеем только выборку) сложно провести границу между нормальными и аномальными данными
- ▶ для нормального распределения – легко, например, граница определяется 2σ (95%)

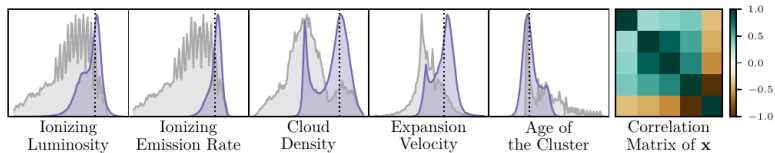
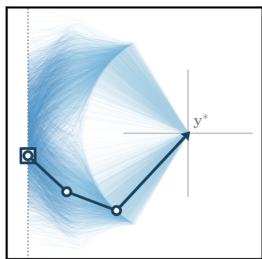


Reminder: Inverse Problems with Invertible Neural Networks

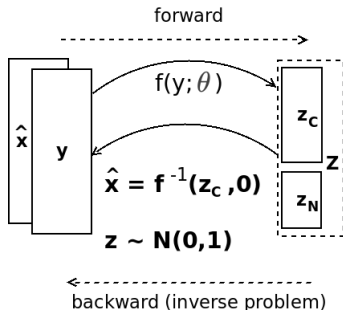
- ▶ model $y = s(x)$ for the forward process
- ▶ aim at approximating $p(x | y)$



Reminder: Inverse Problems with INN (2)



INN for image denoising

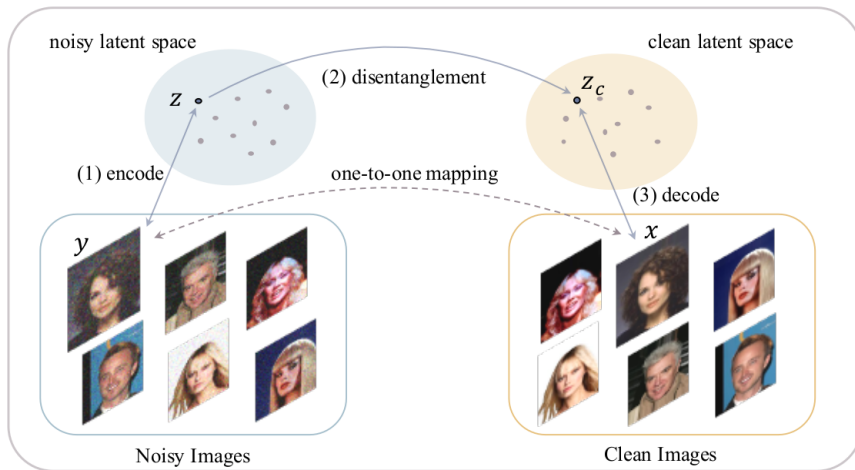


- ▶ Есть пары данных $\{x, y\}$, где
 - ▶ x — чистое изображение,
 - ▶ $y = x + \eta$ — **синтетически** зашумлённое изображение;
 - ▶ η — шум (может быть гауссовским, реалистичным, и т.д.).
- ▶ Цель INN: построить обратимое отображение f_θ , такое что при прямом проходе (forward) $f_\theta(y) = z \equiv [z_C, z_N]$
 - ▶ где z_C — латент, кодирующий "чистую" структуру / содержимое,
 - ▶ z_N — латент, содержащий шум/неопределённость.

Что хотим получить

- ▶ В обратном направлении (inverse) хотим получить чистое изображение, подавив/заменяв шумовую составляющую:
$$\hat{\mathbf{x}} = f_{\theta}^{-1}(\mathbf{z}_C, \mathbf{z}'_N)$$
- ▶ обычно подставляют $\mathbf{z}'_N = 0$ или $\mathbf{z}'_N \sim p(\mathbf{z}_N)$ (если хотим стохастичность)(?).
- ▶ Таким образом, данная схема включает три шага:
 1. изучение распределения зашумленных изображений путем кодирования \mathbf{y} в зашумленное скрытое представление \mathbf{z} ,
 2. отделение чистого представления \mathbf{z}_C от \mathbf{z} ,
 3. восстановление чистого изображения путем декодирования \mathbf{z}_C в пространство чистого изображения.
- ▶ Для обеспечения эффекта шумоподавления отображения между \mathbf{y} и \mathbf{z} , \mathbf{z}_C и \mathbf{x} должны быть взаимно однозначными.

Три шага схемы шумоподавления



Изображения \leftrightarrow латенты

$$p(\mathbf{y}) = p(\mathbf{z}) \left| \det \frac{df(\mathbf{z})}{d\mathbf{z}} \right|^{-1}$$

- ▶ assume that \mathbf{z} can be disentangled:
 - ▶ some of the dimensions of \mathbf{z} encode the distribution of clean images (denoted as \mathbf{z}_C) and the remaining embed noise (denoted as \mathbf{z}_N).
- ▶ The clean image \mathbf{x} can be restored through the following transformation:

$$p(\mathbf{x}) = p(\mathbf{z}_C) \left| \det \frac{df(\mathbf{z}_C)}{d\mathbf{z}_C} \right|^{-1}$$

- ▶ However, how to obtain \mathbf{z}_C with \mathbf{z} **"is not so obvious"**.
- ▶ It is proposed a way of disentanglement by setting $\mathbf{z}_N = 0$

Обучение: функции потерь (1)

- ▶ Реконструкционная потеря (supervised):

$$\mathcal{L}_{\text{rec}} = \|\hat{\mathbf{x}} - \mathbf{x}\|_1 \quad \text{или} \quad \|\hat{\mathbf{x}} - \mathbf{x}\|_2^2$$

- ▶ Это обеспечивает, что \mathbf{z}_C являются существенными параметрами для чистых изображений
- ▶ Ошибка "шумовой" латенты (matching noise):
$$\mathcal{L}_{\text{noise}} = \|\mathbf{z}_N - \boldsymbol{\eta}\|_2^2$$
 - ▶ если во время прямого прохода мы отдельно извлекаем \mathbf{z}_N и в синтетическом наборе знаем шум $\boldsymbol{\eta}$, то их можно принудительно согласовать
 - ▶ как? они разных размерностей! : $\boldsymbol{\eta}$ - сложение, \mathbf{u} - конкатенация

Обучение: функции потерь (2)

- ▶ Лог-правдоподобие: Flow-модель даёт явную вероятность латентов. Если модель такова, что $f_\theta(\mathbf{y}) = (\mathbf{z}, \mathbf{u})$, и мы предполагаем $p(\mathbf{u})$ (например, $\mathcal{N}(0, I)$), то отрицательное лог-правдоподобие для \mathbf{y} превращается в:

$$\mathcal{L}_{\text{NLL}}(\mathbf{y}) = -\log p_z(\mathbf{z}) - \log \left| \det \frac{\partial f_\theta(\mathbf{y})}{\partial \mathbf{y}} \right|$$

При условии факторизации $p_z(\mathbf{z}_C, \mathbf{z}_N) = p_z(\mathbf{z}_C)p_z(\mathbf{z}_N)$ иногда упрощают: минимизируем $-\log p_z(\mathbf{z}_N) - \log |\det J|$ (часть, связанная с \mathbf{z}_C , можно оставить без явной цели, если основной фокус на \mathbf{z}_N . Также на практике используют Gaussian prior для $\mathbf{z}_N \rightarrow (-\log p_z(\mathbf{z}_N) \propto |\mathbf{z}_N|^2)$.

Итоговая комбинированная функция потерь

- ▶ В общем случае: $\mathcal{L} = \alpha\mathcal{L}_{\text{rec}} + \beta\mathcal{L}_{\text{noise}} + \gamma\mathcal{L}_{\text{NLL}} + \delta\mathcal{L}_{\text{aux}}$
- ▶ где \mathcal{L}_{aux} — дополнительные члены (SSIM loss, perceptual loss, adversarial loss и т.д.).
- ▶ Для стабильного обучения обычно α доминирует.
- ▶ Главное в обучении — контролировать, чтобы шум оказался в \mathbf{z}_N , а не "прятался" в \mathbf{z}_C .

Архитектура сети

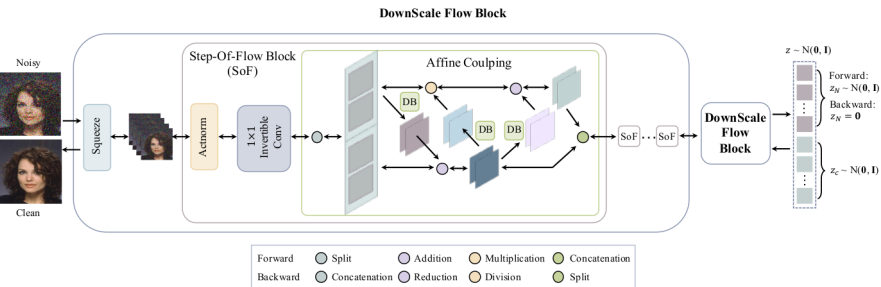


Table 4. Comparisons on the denoising accuracy of different numbers of DownScale Blocks and Invertible Blocks.

PSNR		SoF Blocks	
		Num = 4	Num = 8
Flow Blocks	num = 1	29.59	29.86
	num = 2	29.87	30.00
	num = 3	29.89	29.90

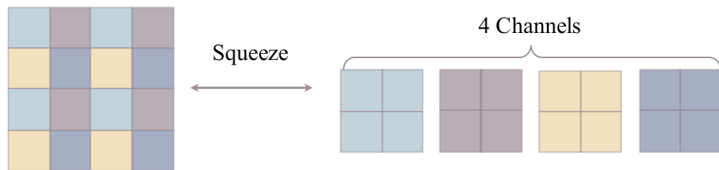
Выбор размерностей латентов

Table 5. Comparisons on different proportions of the dimensions of \mathbf{z}_C in \mathbf{z} .

$\dim(\mathbf{z}_C)$	1/8	1/4	1/2	3/4	7/8
PSNR	29.81	30.00	30.00	30.19	30.18

- ▶ Выбирают:
 - ▶ 75% — content
 - ▶ 25% — noise
- ▶ Почему это работает
 - ▶ Визуальная структура требует больше степеней свободы, чем шум
 - ▶ Шум статистически проще (часто близок к Gaussian)
- ▶ Типичные значения из статей:
 - ▶ 10–30% каналов → noise
 - ▶ 70–90% каналов → content
- ▶ В INN-денонизинге размерность шума — это не параметр данных, а гиперпараметр модели, который задаёт где модель будет хранить неопределённость.

Слой: Squeeze



- ▶ Squeeze очень важен, без него подавление шума практически не работает.
- ▶ это детерминированная, полностью обратимая перестановка элементов тензора.
 - ▶ Никакая информация не теряется
 - ▶ Нет параметров
 - ▶ \log -детерминант Якобиана = 0
- ▶ Coupling layers видят только по каналам
 - ▶ Без squeeze каждый пиксель изолирован, а локальные корреляции (2×2) не видны

Слои: Squeeze не равен pooling или stride

Операция	Обратима	Потеря информации	Назначение
MaxPool	✗	да	downsampling
AvgPool	✗	да	сглаживание
Stride Conv	✗	частично	feature extraction
Squeeze	✓	нет	перераспределение информации

→ Squeeze **меняет представление**, а не данные.

Слой: Activation Normalization (Actnorm)

- ▶ Actnorm replaces Batch Normalization,
 - ▶ performs an affine transformation with a scale and bias parameter per channel of the type

$$y = \frac{x - \mu}{\sigma} \gamma + \beta$$

where γ and β are learned, initialized from the initial data statistics

- ▶ Unlike Batch Normalization, which uses batch statistics throughout training, Actnorm calculates the mean and standard deviation from the first initial minibatch of data.
- ▶ After the initial data-dependent setup, the scaling and shifting parameters become regular trainable parameters, independent of the input data.
- ▶ allows for deeper models

Слой: 1×1 convolution

- ▶ Dimensionality Reduction/Increase: It acts as a bottleneck layer, reducing the number of channels (depth) to lower computational costs (e.g., in ResNet or Inception modules).
- ▶ It blends information across input channels for each spatial location.
- ▶ Non-Linearity: Similar to a fully connected layer applied per-pixel, it adds more non-linear activation functions (like ReLU) to the network, increasing capacity without significantly increasing parameters.
- ▶ Feature Combination: It creates a new set of features by learning optimal linear combinations of existing input channels.

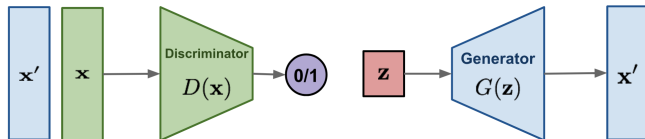
$$Y_d(i, j) = \sum_{c=1}^C \sum_m \sum_n X_c(i + m, j + n) \cdot K_{d,c}(m, n) + b_d$$

Еще литература

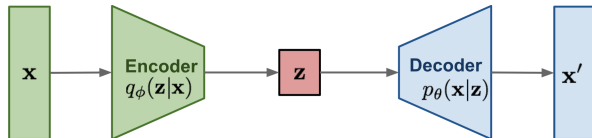
- ▶ Abdelhamed, A., et al "Noise flow: Noise modeling with conditional normalizing flows."
http://openaccess.thecvf.com/content_ICCV_2019/papers/Abdelhamed_Noise_Flow_Noise_Modeling_With_Conditional_Normalizing_Flows_ICCV_2019_paper.pdf
- ▶ Lugmayr, A, et al "SrfLOW: Learning the super-resolution space with normalizing flow." <https://arxiv.org/pdf/2006.14200>
- ▶ Asim, M. et al, "Invertible generative models for inverse problems: mitigating representation error and dataset bias."
<http://proceedings.mlr.press/v119/asim20a/asim20a.pdf>

Types of Generative Models

GAN: minimax the classification error loss.



VAE: maximize ELBO.



Flow-based generative models: minimize the negative log-likelihood

